

학번 \_\_\_\_\_ 이름 \_\_\_\_\_

- 시험시간 7:00 - 9:00pM
- 학생들 사이의 계산기 교환은 허락하지 않음.
- 휴대전화의 전원은 무조건 끌 것. 감독관의 눈에 전화기가 보이면 이유 여부를 막론하고 부정행위로 간주 함.
- 답은 주어진 네모 안에 적을 것. 빈 공간에는 풀이 과정을 적을 것.
- 문항수: 6, 쪽수: 4, 만점: 356

1. (48점) 다음표의 빈칸을 채우시오.

원자번호	원소기호	이름	족 (Family)	주기 (Period)
22				
	Cu			
		Palladium		
60				
	Gd			
		Protactinium		

2. 어떤 Cobalt 착물을 합성하는 과정에서 A, B, C 세 가지 화합물을 얻었다. 각각에 대하여 원소분석을 하여 보니, A는  $\text{Na}_3[\text{CoF}_6]$ , B는  $[\text{CoF}_3(\text{NH}_3)_3]$ , C는  $[\text{Co}(\text{NH}_3)_6]\text{Cl}_3$ 의 화학식을 가지고 있었다. 또한 SQUID를 이용하여 각각의 자기적 성질을 알아보니, A는 상자기성 (paramagnetic)하고, B와 C는 반자기성 (diamagnetic)하였다. 다음 물음에 답하시오.

(a) (9점) 각 화합물의 이름(nomenclature)를 쓰시오.

	Nomenclature
$\text{Na}_3[\text{CoF}_6]$	
$[\text{CoF}_3(\text{NH}_3)_3]$	
$[\text{Co}(\text{NH}_3)_6]\text{Cl}_3$	

(b) (6점) 각 화합물에 대하여 Co의 산화수와 d 전자의 개수를 쓰시오.

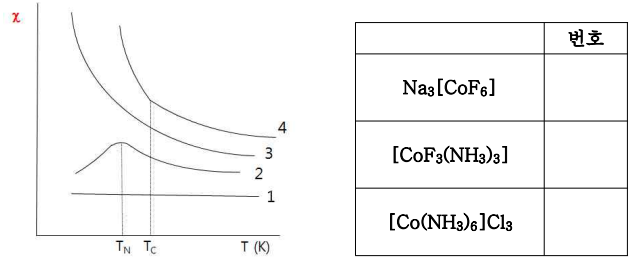
	$\text{Na}_3[\text{CoF}_6]$	$[\text{CoF}_3(\text{NH}_3)_3]$	$[\text{Co}(\text{NH}_3)_6]\text{Cl}_3$
산화수			
d 전자의 개수			

(c) (36점) Co의 배위구조가 팔면체( $O_h$ )라고 할 때, 각 화합물의 LFSE, Coulombic 에너지( $\Pi_c$ ), 전자교환에너지(exchange energy,  $\Pi_e$ ), 스핀상태(high spin, low-spin), 스핀양자수(S), effective magnetic moment ( $\mu_{\text{eff}}$ )를 밝히시오.

n	2	3	5	6	7	8	10
$\sqrt{n}$	1.41	1.73	2.24	2.45	2.65	2.83	3.16

	$\text{Na}_3[\text{CoF}_6]$	$[\text{CoF}_3(\text{NH}_3)_3]$	$[\text{Co}(\text{NH}_3)_6]\text{Cl}_3$
LFSE( $\Delta_o$ 단위)			
스핀상태 (high-, low-spin?)			
Coulombic energy ( $\Pi_c$ 단위)			
Exchange energy ( $\Pi_e$ 단위)			
스핀양자수(S)			
effective magnetic moment ( $\mu_{\text{eff}}$ , $\mu_B$ 단위)			

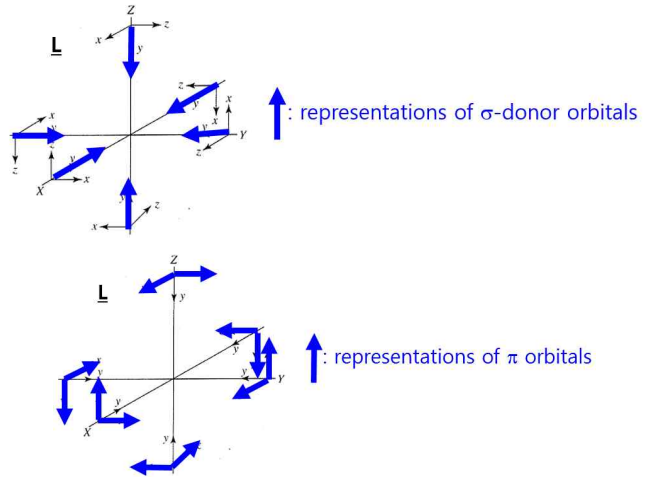
(d) (9점) 각 화합물에 대하여 SQUID 실험을 통해 온도에 따른 자화율 (magnetic susceptibility,  $\chi$ )의 변화를 측정하였더니 다음 그림과 같았다. 해당하는 그래프의 번호를 적으시오.



(e) (9점)  $\text{Na}_3[\text{CoF}_6]$ 와  $[\text{Co}(\text{NH}_3)_6]\text{Cl}_3$ 가 서로 다른 자기적 성질을 나타내는 것은  $\text{F}^-$ 와  $\text{NH}_3$  리간드의 성격이 다르기 때문이다.  $\text{F}^-$ 와  $\text{NH}_3$  리간드 중 분광화학적계열(spectrochemical series) 순서에서 앞에 위치하는 것을 고르고, 각각은 어떤 성격의 리간드인지 보기에서 고르시오

분광화학적계열 순서에서 앞에 위치하는 것	$\text{F}^-$	$\text{NH}_3$
<보기>		
1. $\sigma$ -주개 리간드( $\sigma$ -donor ligand)	번호	
2. $\pi$ -주개 리간드( $\pi$ -donor ligand)		
3. $\pi$ -받개 리간드( $\pi$ -acceptor ligand)		

(f) (20점)  $\text{F}^-$ 와  $\text{NH}_3$ 의 분광화학적서열이 (e)와 같이 되는 것은 ligand field theory를 이용하여 알 수 있다. 다음은 팔면체 착물에서 리간드  $\sigma$ -donor orbital과  $\pi$ -orbital을 화살표로 표시한 것이다.  $\sigma$ -donor orbital 6개에 대한 가약표현( $\Gamma_o$ , reducible representation)을 구하고 가약표현을 기약표현(irreducible representation)의 합으로 표시하시오. 또한  $\pi$ -donor orbital 12개에 대한 가약표현( $\Gamma_\pi$ )을 구하고 가약표현을 기약표현의 합으로 표시하시오.



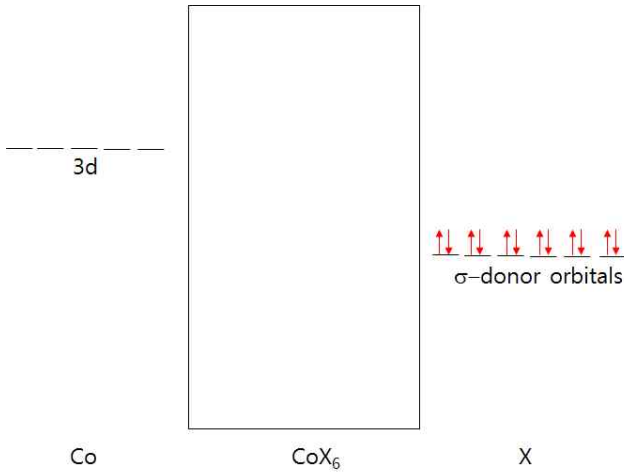
$O_h$	E	$8C_3$	$6C_2$	$6C_4$	$3C_2(=C_4^2)$	i	$6S_4$	$8S_6$	$3\sigma_h$	$6\sigma_d$		
$A_{1g}$	1	1	1	1	1	1	1	1	1	1	$\chi^2 + y^2 + z^2$	
$A_{2g}$	1	1	-1	-1	1	1	-1	1	1	-1		
$E_g$	2	-1	0	0	2	2	0	-1	2	0		$(2z^2 - x^2 - y^2, x^2 - y^2)$
$T_{1g}$	3	0	-1	1	-1	3	1	0	-1	-1		
$T_{2g}$	3	0	1	-1	-1	3	-1	0	-1	1		$(xy, xz, yz)$
$A_{1u}$	1	1	1	1	1	-1	-1	-1	-1	-1		
$A_{2u}$	1	1	-1	-1	1	-1	1	-1	-1	1		
$E_u$	2	-1	0	0	2	-2	0	1	-2	0	$(x, y, z)$	
$T_{1u}$	3	0	-1	1	-1	-3	-1	0	1	1		
$T_{2u}$	3	0	1	-1	-1	-3	1	0	1	-1		

$O_h$	E	$8C_3$	$6C_2$	$6C_4$	$3C_2(=C_4^2)$	i	$6S_4$	$8S_6$	$3\sigma_h$	$6\sigma_d$
$\Gamma_o$										
$\Gamma_\pi$										
$\Gamma_o = T_{1g} + E_g + \underline{\hspace{2cm}}$						$\Gamma_\pi = T_{1g} + T_{2g} + T_{1u} + \underline{\hspace{2cm}}$				

(g) (10점) Co에서 d-오비탈 각각의 symmetry type을 결정하시오.

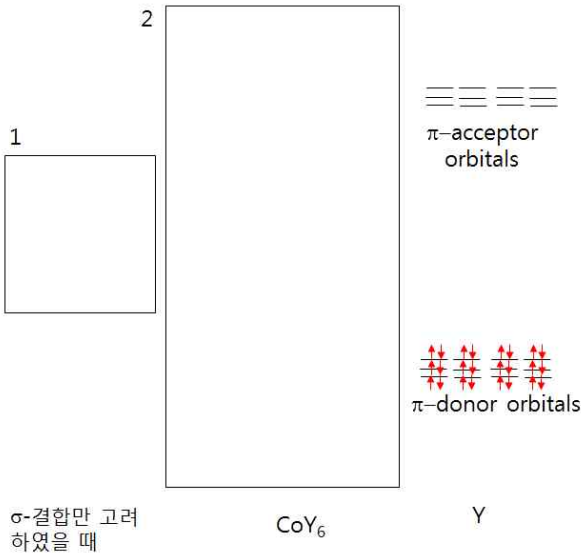
	$d_{z^2}$	$d_{x^2-y^2}$	$d_{xy}$	$d_{yz}$	$d_{xz}$
symmetry type					

(h) (15점) Co의 3d 오비탈과 리간드 X의  $\sigma$ -donor 오비탈만을 고려하였을 때, 아래  $\text{CoX}_6$ 의 molecular orbital(MO) 에너지준위도를 네모 안에 그리시오.(오비탈의 이름 정확히 쓸 것,  $\Delta_0$ 는 어느 오비탈들 사이의 에너지 차이인지 표시. d-오비탈, 리간드 오비탈, MO 사이의 관계는 점선으로 연결)



(i) (5점) (h)에서 리간드 X는  $\text{F}^-$ 와  $\text{NH}_3$  중  이다. 이때  $\text{CoX}_6$ 의 MO 에너지준위도에 전자배치를 위 그림에 화살표로 표시하시오.

(j) (15점) (g)와 (f)의 답을 참고로 하여  $\text{CoY}_6$ (Y는  $\text{F}^-$ 와  $\text{NH}_3$  중 (i)의 X가 아닌 것)의  $\Delta_0$ 가  $\text{CoX}_6$ 의  $\Delta_0$ 보다 커지는지 작아지는지 ligand field theory를 이용하여 알아보고자 한다. 아래 그림의 네모 1에는 (g)의 답 그림 중  $\text{CoX}_6$ 의 frontier 오비탈을 그리고, 네모 2에는  $\text{CoY}_6$ 의 MO 에너지준위도를 그리시오.(왼쪽에서  $\pi$ -donor orbitals 또는  $\pi$ -acceptor orbitals 중 맞는 것을 사용하여 MO를 완성할 것)(네모 2에 오비탈의 이름 정확히 쓸 것,  $\Delta_0$  표시. d-오비탈, 리간드 오비탈, MO 사이의 관계는 점선으로 연결. MO에 전자배치를 화살표로 표시)



(k) (15점)  $\text{F}^-$ 와  $\text{NH}_3$ 의 분광화학적서열이 (e)와 같이 되는 것은 angular overlap model을 이용하여서도 알 수 있다. 다음 Table 10-10은  $\sigma$ -상호작용에 대한 angular overlap parameter이다. Co의 d-오비탈과 리간드  $\sigma$ -오비탈의 에너지준위가  $\text{CoX}_6$ 에서는 어떻게 변하는지 그림을 그리고 그 변화의 정도를  $e_\sigma$  단위로 표시하여라.

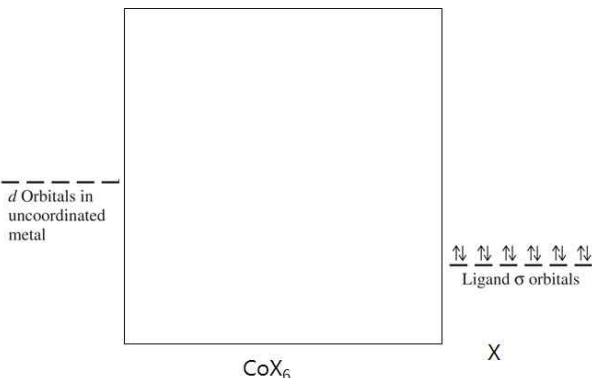


TABLE 10.10 Angular Overlap Parameters: Sigma Interactions

CN	Shape	Positions	Sigma Interactions (all in units of $e_\sigma$ )					
			Ligand Position	$z^2$	$x^2 - y^2$	$xy$	$xz$	$yz$
2	Linear	1, 6	1	1	0	0	0	0
3	Trigonal	2, 11, 12	2	$\frac{1}{2}$	$\frac{3}{4}$	0	0	0
3	T shape	1, 3, 5	3	$\frac{2}{3}$	$\frac{2}{3}$	0	0	0
4	Tetrahedral	7, 8, 9, 10	4	$\frac{1}{2}$	$\frac{3}{4}$	0	0	0
4	Square planar	2, 3, 4, 5	5	$\frac{1}{2}$	$\frac{3}{4}$	0	0	0
5	Trigonal bipyramidal	1, 2, 6, 11, 12	6	1	0	0	0	0
5	Square pyramidal	1, 2, 3, 4, 5	7	0	0	$\frac{1}{3}$	$\frac{1}{3}$	$\frac{1}{3}$
6	Octahedral	1, 2, 3, 4, 5, 6	8	0	0	$\frac{1}{3}$	$\frac{1}{3}$	$\frac{1}{3}$
			9	0	0	$\frac{1}{3}$	$\frac{1}{3}$	$\frac{1}{3}$
			10	0	0	$\frac{1}{3}$	$\frac{1}{3}$	$\frac{1}{3}$
			11	$\frac{1}{2}$	$\frac{3}{16}$	$\frac{9}{16}$	0	0
			12	$\frac{1}{2}$	$\frac{3}{16}$	$\frac{9}{16}$	0	0

(l) (15점) 다음 Table 10-11은  $\pi$ -상호작용에 대한 angular overlap parameter이다. (k) 그림을 참고하여  $\text{CoY}_6$ 에서의 에너지준위도를 그리고,  $\Delta_0$ 는 얼마인지  $e_\sigma$ 와  $e_\pi$ 단위로 표시하시오.

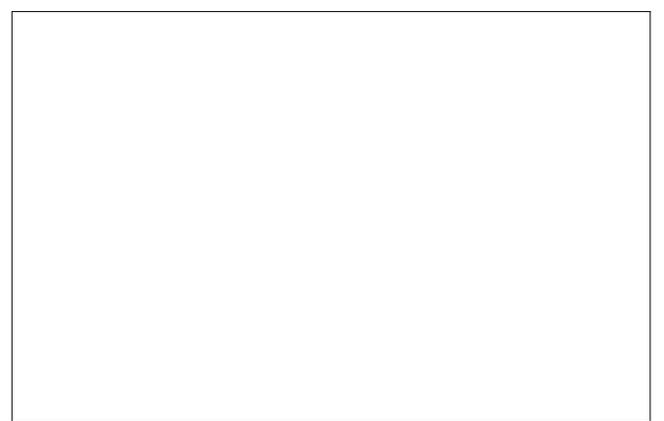


TABLE 10.11 Angular Overlap Parameters: Pi Interactions

CN	Shape	Positions	Pi Interactions (all in units of $e_\pi$ )					
			Ligand Position	$z^2$	$x^2 - y^2$	$xy$	$xz$	$yz$
2	Linear	1, 6	1	0	0	0	1	1
3	Trigonal	2, 11, 12	2	0	0	1	1	0
3	T shape	1, 3, 5	3	0	0	1	0	1
4	Tetrahedral	7, 8, 9, 10	4	0	0	1	1	0
4	Square planar	2, 3, 4, 5	5	0	0	1	0	1
5	Trigonal bipyramidal	1, 2, 6, 11, 12	6	0	0	0	1	1
5	Square pyramidal	1, 2, 3, 4, 5	7	$\frac{2}{3}$	$\frac{2}{3}$	$\frac{2}{3}$	$\frac{2}{3}$	$\frac{2}{3}$
			8	$\frac{2}{3}$	$\frac{2}{3}$	$\frac{2}{3}$	$\frac{2}{3}$	$\frac{2}{3}$
			9	$\frac{2}{3}$	$\frac{2}{3}$	$\frac{2}{3}$	$\frac{2}{3}$	$\frac{2}{3}$
			10	$\frac{2}{3}$	$\frac{2}{3}$	$\frac{2}{3}$	$\frac{2}{3}$	$\frac{2}{3}$
			11	0	$\frac{1}{2}$	$\frac{1}{2}$	$\frac{1}{2}$	$\frac{1}{2}$
			12	0	$\frac{1}{2}$	$\frac{1}{2}$	$\frac{1}{2}$	$\frac{1}{2}$

(m) (18점)  $\text{Na}_3[\text{CoF}_6]$ ,  $[\text{CoF}_3(\text{NH}_3)_3]$ ,  $[\text{Co}(\text{NH}_3)_6]\text{Cl}_3$ 에서 free Co ion의 ground state term symbol과 착물에서의 ground state term symbol을 각각 쓰고, d 전자배치를 화살표로 표시하시오.(TS diagram 참조)

	$\text{Na}_3[\text{CoF}_6]$	$[\text{CoF}_3(\text{NH}_3)_3]$	$[\text{Co}(\text{NH}_3)_6]\text{Cl}_3$
ground state term symbol (free Co ion)			
ground state term symbol (착물)			
ground state 전자배치(착물)	$e_g$ ___ $t_{2g}$ ___	$e_g$ ___ $t_{2g}$ ___	$e_g$ ___ $t_{2g}$ ___

(m) (12점)  $\text{Na}_3[\text{CoF}_6]$ ,  $[\text{CoF}_3(\text{NH}_3)_3]$ ,  $[\text{Co}(\text{NH}_3)_6]\text{Cl}_3$ 에서 spin-allowed first excited state의 term symbol과 d 전자배치를 화살표로 표시하시오.(TS diagram 참조)

	$\text{Na}_3[\text{CoF}_6]$	$[\text{CoF}_3(\text{NH}_3)_3]$	$[\text{Co}(\text{NH}_3)_6]\text{Cl}_3$
first excited state term symbol (착물)			
first excited state 전자배치(착물)	$e_g$ — — — $t_{2g}$ — — —	$e_g$ — — — $t_{2g}$ — — —	$e_g$ — — — $t_{2g}$ — — —

(o) (28점)  $\text{Na}_3[\text{CoF}_6]$ ,  $[\text{Co}(\text{NH}_3)_6]\text{Cl}_3$ 의 흡수스펙트럼에서 d-d 전이에 해당하는 전이(위 ground state에서 first excited state로의 전이)가 하나는  $13,000\text{ cm}^{-1}$ , 다른 하나는  $29,000\text{ cm}^{-1}$ 에서 관찰되었다.  $\text{Na}_3[\text{CoF}_6]$ ,  $[\text{Co}(\text{NH}_3)_6]\text{Cl}_3$ 에서  $\Delta_o$  값, 리간드의  $e_o$ ,  $e_x$  값을 각각 구하고,  $[\text{CoF}_3(\text{NH}_3)_3]$ 에서  $\Delta_o$  값을 추정하시오.(단위  $\text{cm}^{-1}$ ) ( $\text{F}^-$ 와  $\text{NH}_3$ 와  $e_o$  값은 같다고 가정하라)(칸이 큰 곳에는 구하는 과정을 간략히 보일 것)

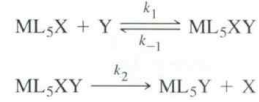
	$\text{Na}_3[\text{CoF}_6]$	$[\text{Co}(\text{NH}_3)_6]\text{Cl}_3$	$[\text{CoF}_3(\text{NH}_3)_3]$
$\Delta_o$			
$\text{NH}_3$ 의 $e_o$			
$\text{NH}_3$ 의 $e_x$			
$\text{F}^-$ 의 $e_o$			
$\text{F}^-$ 의 $e_x$			
추정 $\Delta_o$			

(p) (10점)  $[\text{CoF}_3(\text{NH}_3)_3]$ 와  $[\text{Co}(\text{NH}_3)_6]\text{Cl}_3$ 의 위 d-d 전이에서 흡광계수가 더 큰 것은 어느 착물인지 고르고 그 이유를 서술하시오.

(q) (9점)  $\text{Na}_3[\text{CoF}_6]$ 에 대하여 (m)에서 구한 free Co ion의 ground state term의 L, S 값을 구하고, 이 term에 속한 microstate의 개수를 구하시오.

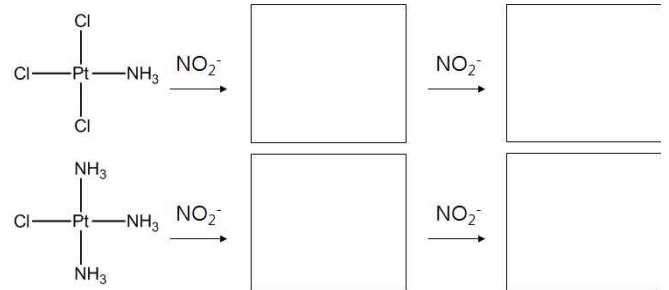
L	S	microstate의 개수

3. (15점) 팔면체 배위화합물의 리간드 치환반응 중 associative mechanism은 다음과 같다. steady-state approximation을 이용하여 associative mechanism의 반응 속도식을 유도하여라.

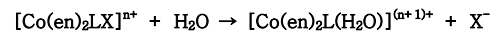


$$\frac{d[\text{ML}_5\text{Y}]}{dt} =$$

4. (12점) 다음 사각평면 Pt(II) 착물의 리간드 치환반응의 생성물(Pt(II) 착물)을 그려라.



5. (20점) 팔면체  $[\text{Co}(\text{en})_2\text{LX}]^{n+}$  착물의 리간드 치환반응에서



L= $\text{Cl}^-$ , X= $\text{Cl}^-$  이고 둘 사이의 위치 관계가 cis일 경우에는 L과 ( $\text{H}_2\text{O}$ ) 사이의 위치 관계가 cis인 생성물이 100% 생겼고, L= $\text{Cl}^-$ , X= $\text{Cl}^-$  이고 둘 사이의 위치 관계가 trans일 경우에는 L과 ( $\text{H}_2\text{O}$ ) 사이의 위치 관계가 cis인 생성물이 35% 생겼다. 각각의 경우에 반응 mechanism을 그림으로 그려라.

6. (20점)  $[\text{Co}(\text{NH}_3)_6]^{2+}$ 는  $S=3/2$ 의 스핀양자수를 갖는다. 또한  $[\text{Co}(\text{NH}_3)_6]^{2+}$ 의 흡수스펙트럼에는  $9,000\text{ cm}^{-1}$ 와  $21,000\text{ cm}^{-1}$ 에 흡수띠가 있다. 주어진 TS diagram 중 맞는 것을 골라  $9,000\text{ cm}^{-1}$ 와  $21,000\text{ cm}^{-1}$  전이를 화살표로 표시하여라. 또한  $\Delta_o$ 와 B 값을 구하여라. (힌트:  ${}^xT_{1g} \rightarrow {}^x A_{2g}$  전이는 잘 관측되지 않는다.)

